



## بررسی و مقایسه بیان ژن‌های ژرماکرن A سنتتاز (TpGas) و پارتولید سنتتاز (TpPTs) در مسیر بیوسترزی پارتولید تحت سطوح مختلف شوری در دو مرحله رویشی برگ‌های گیاه بابونه کبیر (*Tanacetum parthenium*)

منصوره احمدی لیوانی<sup>۱</sup>، لطیفه پوراکبر<sup>۲</sup>، آرین ساطعی<sup>۳</sup>، مهدی عبادی<sup>۴</sup> و ابوالقاسم محمدی<sup>۵</sup>

- ۱- دانشجوی دکترای فیزیولوژی گیاهی گروه زیست شناسی، دانشکده علوم، دانشگاه ارومیه
  - ۲- دانشیار گروه زیست شناسی، دانشکده علوم، دانشگاه ارومیه، (تویسته مسحوب: l.pourakbar@urmia.ac.ir)
  - ۳- دکترای فیزیولوژی گیاهی، دانشگاه علوم کشاورزی و منابع طبیعی گرگان
  - ۴- دکترای شمی تجزیه کریشک‌الکتروشیمی، دانشگاه گرگان
  - ۵- دکترای زنگیک دانشگاه علوم کشاورزی و منابع طبیعی گرگان
- تاریخ دریافت: ۹۸/۹/۱۰ تاریخ پذیرش: ۹۸/۱۲/۱۰ صفحه: ۱۸۱ تا ۱۹۱

### چکیده

بابونه کبیر (*Tanacetum parthenium*) از خانواده آستراسه که در قدیم با عنوان داروی تبیر استفاده می‌شد و مهمترین ماده تشکیل‌دهنده آن پارتولید یک سزکوئی تربن لاکتون است. پارتولید یک ژرماکرانولید لاکتون است، که به علت ارزش دارویی و فعالیت فارماکولوژی، عامل پیشگیری کننده میگرن بوده و در معالجه سرطان بسیار مهم است. این تحقیق به منظور مطالعه تغییرات بیان ژن‌های مسیر بیوسترزی پارتولید، ژرماکرن A سنتتاز (GAS) و پارتولید سنتتاز (PTS) گیاه بابونه کبیر به روش روش واکنش زنجیره‌ای پلیمراز در زمان واقعی (Real Time PC) در سطوح مختلف شوری (شوری صفر  $EC=3.2$ ، شوری ملایم  $EC=6.1$ ، شوری متوسط  $EC=8.4$  و شوری شدید  $EC=10.2$ ) انجام شد و همچنین میزان پارتولید تولید شده در برگ‌های جوان و بالغ گیاه با روش عصاره‌گیری HPLC به وسیله منحنی استاندارد پارتولید و درصد اسانس توسط دستگاه GC/MS سنجیده شد. نتایج نشان داد که بیان ژن‌های مورد مطالعه در برگ‌های جوان و بالغ گیاهان تحت تنفس شوری نسبت به گیاهان شاهد افزایش یافت. بیشترین میزان بیان ژن (TpPTS) در برگ‌های جوان در شرایط شوری شدید ( $EC=10/2$ ) و در برگ‌های بالغ هم در شوری شدید ( $EC=10/2$ ) و هم در شوری متوسط ( $EC=8/4$ ) مشاهده شد. بیشترین میزان بیان ژن در برگ‌های جوان و بالغ مربوط به تیمارهای شوری شدید و متوسط بود. همچنین با توجه به نتایج به دست آمده، بیشترین میزان پارتولید در برگ‌های جوان به ترتیب در شرایط تیمار شوری شدید (۱/۵ میلی گرم در گرم اسانس) و کمترین آن در نمونه شاهد  $2/2$  میلی گرم در گرم اسانس مشاهده شد. در برگ‌های بالغ نیز بیشترین میزان تولید پارتولید مربوط به تیمار شوری شدید (۱/۸ میلی گرم در گرم اسانس) و کمترین مربوط به شاهد (۱/۱ میلی گرم در گرم اسانس) گزارش گردید. نتایج همبستگی بین ژن‌های ژرماکرن A سنتتاز و پارتولید سنتتاز با میزان پارتولید نشان داد که همبستگی مثبتی بین ژن‌های ژرماکرن A سنتتاز و پارتولید سنتتاز با میزان پارتولید وجود دارد.

واژه‌های کلیدی: گیاهان دارویی، واکنش زنجیره‌ای پلیمراز در زمان واقعی، HPLC، اسانس

### مقدمه

یکی از محورهای اصلی قابل دسترس در زمینه افزایش صادرات غیرنفتی، توسعه کشت و کار گیاهان دارویی و صنعتی است. گیاهان دارویی از ارزش و اهمیت خاصی در تأمین بهداشت و سلامتی جوامع هم از نظر درمان و همچنین پیشگیری از بیماریها برخوردارند (۷،۸،۹). در حال حاضر استفاده از داروهای سنتی در کشورهای در حال توسعه ۸۰ درصد مردم را تشکیل می‌دهد (۱۰،۱۱). افزایش جمیعت و نیاز صنایع داروسازی به گیاهان دارویی به عنوان مواد اولیه تولید دارو و همچنین اهمیت مواد مؤثره آن‌ها در صنایع مختلف، سبب توسعه کشت و تولید گیاهان دارویی شده است. یکی از مهمترین زمینه‌های تحقیقی در مورد گیاهان دارویی، بررسی شرایط مختلف محیطی تأثیرگذار بر میزان عملکرد کمی و کیفی این گیاهان است. شاید بتوان گفت یکی از مهمترین دغدغه‌های تولید کنندگان گیاهان دارویی علاوه بر میزان کمی محصول، کیفیت آن است. از آنجا که هدف نهایی از کشت گیاهان دارویی، استفاده از مواد مؤثره موجود در آن‌ها است و هرچه مقدار مواد مؤثره و متابولیت‌های ثانویه در واحد

(جدول ۱). این پرایمرها از نظر تکثیر اختصاصی ژن‌های مذبور در بانک اطلاعاتی NCBI و به کمک Primer BLAST مورد بررسی و تایید قرار گرفتند و عملکرد آن‌ها با PCR نیز بررسی شد. برای انجام واکنش Real Time PCR از دستگاه Step-one شرکت ABI استفاده شد. هر مرحله تکثیری کامل توسط یک مرحله تفکیک که شامل ۹۵°C به مدت ۵ دقیقه و ۴۵ سیکل به صورت ۹۵°C به مدت ۱۵ ثانیه، ۶۰°C به مدت ۶۰ ثانیه اجرا گردید. پس از اتمام چرخه‌های PCR منحنی ذوب با برنامه دمای ۰/۳°C در هر چرخه و بین دمای ۶۵-۹۵°C به منظور بررسی اختصاصی واکنش PCR گردید.

نرخ بیان ژن‌های مورد مطالعه با استفاده از روش دلتا دلتا محاسبه شد. بر این اساس، ابتدا هر نمونه میانگین دوره آستانه  $\Delta CT$  (حاصل از دو تکرار محاسبه) سپس همین عمل برای ژن‌های خانه‌دار (House Keeping) مربوط به هر نمونه اجرا شد و در نهایت میزان بیان ژن مورد نظر با استفاده از فرمول زیر به دست آمد:

$$\text{Gene expression: } 2^{-(\Delta CT \text{ (House-Keeping Gene)} - \Delta CT \text{ (Target Gene)})}$$

همچنین برای شناسایی و تعیین درصد پارتولید عصاره از دستگاه کروماتوگرافی مایع با کارآیی بالا (HPLC) استفاده شد. دستگاه HPLC مذکور دارای ستون Agilent zorbax xDB C<sub>18</sub> (طول: 150 میلیمتر؛ قطر: ۴/۶ میلیمتر) و Agilent 1200 series VWD agilent 1200, 210nm دتکتور می‌باشد. همچنین فاز متحرک با نسبت ۶۰ به ۴۰ به ترتیب آب و اتانول تهییه شد و با جریان ۱ml/min وارد ستون گردید. بدین منظور ۴ گرم از پودر خشک شده برگ‌های بابونه کبیر (برگ‌ها به مدت یک هفته در فضای آزاد و سایه خشک شدن) به مدت ۲۴ ساعت درون دستگاه سوکسله قرار داده شد. در قسمت بالن دستگاه از ۴۵۰ میلی لیتر پتریلوم اتر استفاده نموده و دما را بین ۴۰-۵۰°C تنظیم کرده بعد از ۲۴ ساعت، نتیجه استخراج را در روتاری در شرایط خلا و دمای ۴۰ درجه به مدت ۲ ساعت خشک نموده تا حلال پتریلوم اتر بخار شود و ماده استخراجی غلیظتر شود. عصاره استخراج شده با ۲۰ سی سی استونیتریل حل نموده و با فیلتر ۰/۴۵ میکرومتر فیلتر کرده و بعد به دستگاه HPLC تزریق شد.<sup>(5)</sup> بررسی آماری داده‌ها با استفاده از تجزیه واریانس یک طرفه (ANOVA) و مقایسه میانگین داده‌ها با استفاده از آزمون چند دامنه‌ای دانکن با نرم‌افزار SPSS (نسخه 16) صورت گرفت. همیستگی میان مقدار پارتولید و بیان ژن‌های TpPTs و TpGas با استفاده از آزمون پیرسون انجام شد.

#### اسانس گیری و روش استخراج:

در این آزمایش مقدار ۱۰۰ گرم نمونه خشک شده از برگ گیاه هرقسمت از بابونه کبیر را وزن کرده و با استفاده از دستگاه اسانس گیری فارماکوپه به روش تقطیر با آب به مدت یک ساعت مورد اسانس گیری قرار دادیم. دبی آب خنک کننده ۵ میلی لیتر در دقیقه محاسبه گردید و اسانس به صورت مخلوط با آب بود که بوسیله حلال (دی اتیل اتر) از آب جدا گردید و با راندمان ۰/۶۵ درصد بدست آمد.<sup>(21)</sup>

بیش از ۱۲ درصد سزکوئی ترپن‌های بابونه کبیر را پارتولید تشکیل می‌دهد و به عنوان مهم‌ترین ماده موثره این گیاه است که دارای فعالیت بیولوژیکی بسیاری می‌باشد.<sup>(5)</sup> این ترکیب به علت ارزش پزشکی بالا و فعالیت فارماکولوژی که دارد، به عنوان عامل پیشگیری کننده میگرن و همچنین معالجه سرطان (4,19.6) مسئول بیوستر ترپن‌ها در دو مسیر در پلاستید گیاهان مسیر متیل اریترول فسفات (MEP) و در سیتوسول مسیر موالونیک اسید (MVA)<sup>(2)</sup> است بسیار مورد توجه قرار گرفته است (20,13). بسیاری از محققین هر دو عامل ژنتیک و محیط را در میزان مواد موثره فعال گیاهان دارویی (فنل، فلاونوئید، آکالولوئید ترپن) موثر می‌دانند (12,15). طبق نتایج Majdi و همکاران (9) در گیاه بابونه کبیر، بیشترین مقدار پارتولید به ترتیب در گل، برگ و ساقه گیاه گزارش شد. و پارتولیدی در ریشه بابونه کبیر تعیین نشد. همچنین عنوان شد که بیان ژن TpGAS دقیقاً در ارتباط با بیوستر پارتولید است و بالاترین بیان ژن TpGAS در گل‌ها و کرک‌های ترشحی مشاهده شد و تمرکز پارتولید در کرک‌ها نشان داد که کرک‌ها مکان ویژه‌ای برای سنتر و اسیمیلاسیون پارتولید هستند. تحقیقات منصوری و همکاران (10) بر روی بیان ژن‌های بیوستری مسیر پارتولید در گیاه بابونه تحت تنش شوری نشان داد که شوری موجب افزایش بیان ژن‌های ژرمکرن A سنتز (TpGAS) و پارتولید سنتاز (TpPTS) نسبت به شاهد گردیده است. هدف از این تحقیق بررسی الگوی بیان ژن بر روی دو ژن کلیدی بیوستر پارتولید (GAS) و (PTS) در برگ‌های مربوط به مرحله رویشی تحت تنش شوری در ۴ سطوح مختلف (بدون تنش، ملایم، متوسط و شدید) می‌باشد.

#### مواد و روش‌ها

##### تیمار شوری و بیان ژن

این تحقیق به منظور بررسی اثر سطوح مختلف تنش شوری بر بیان دو ژن درگیر در مسیر بیوستری پارتولید در گیاه بابونه کبیر در سال ۱۳۹۵ در گلخانه به دو صورت در گلدان و زمین دانشگاه آزاد اسلامی گرگان انجام شد. تیمار شامل تنش شوری در چهار سطح (شوری صفر EC=3.2 (دی سی زیمنس بر متر)، شوری ملایم EC=6.1، شوری متوسط EC=8.4 و شوری شدید EC=10.2) بود با ۳ تکرار مرحله رویشی اعمال تنش شوری در چهار سطح (بدون تنش و تنش ملایم، تنش متوسط و تنش شدید) بود. که اعمال تنش به صورت یک روز در میان بود. بعد از گذشت ۳۰ روز اعمال تنش، نمونه‌برداری از برگ‌های جوان و بالغ در اواخر شهریور انجام شد و نمونه‌های برگی در فریزر ۸۰-۸۰°C نگهداری شدند. با توجه به اطلاعات ژنومی موجود در NCBI. به عنوان ژن‌های خانه دار برای گیاه بابونه کبیر با استفاده از نرم افزار BatchPrimer3(<http://probes.pw.usda.gov/batchprimer3/>) طراحی (18) و توسط شرکت سیناژن ساخته شد

و سپس از دمای 240-210°C با سرعت 20 درجه در دقیقه و توقف در این دما به مدت 8/5 دقیقه انجام شد. آشکارساز و درجه حرارت آن، FID در دمای 280°C. حرارت محفظه تزریق، 300°C. نوع گاز حامل و فشار ورودی آن به ستون، هلیوم با درجه خلوص 99/999 درصد بود که فشار ورودی آن به ستون برابر 1/5 کیلوگرم بر سانتی‌متر مربع تنظیم شد.

**کروماتو گراف گازی (GC):** مشخصات دستگاه شامل: ستون موئینه با نام تجاری DB-5 ساخت شرکت J&W به طول 30 متر و قطر داخلی 0/25 میلی‌لیتر که سطح داخلی آن با فاز ساکن از جنس Dimethylsiloxane.5 به ضخامت 0/25 میکرون پوشیده شده است.

برای برنامه‌ریزی ستون: از دمای اولیه 60°C تا دمای نهایی 210°C استفاده شد که در هر دقیقه 3°C به آن افزوده می‌شد.

جدول ۱- توالی آغازگرهای استفاده شده برای ژن‌های TpGAs و TpPTS in *T. parthenium*

Table1. Primer pairs used to clone in Tp(PTS) and TpGAS in *T. parthenium*

توالی آغازگر	ژن
Forward primer:	Tp(PTS)
Reverse primer:	ATCACGACACAAGTCCCAGGG
Forward primer:	TpGAS
Reverse primer:	TTCTCCTTATTCTCAACTGTGCG

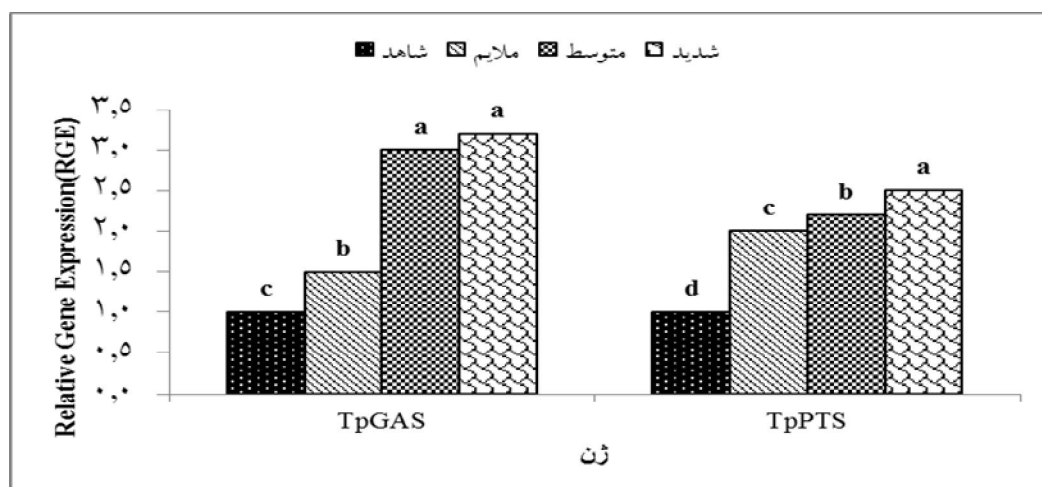
محاسبات کمی (تعیین درصد هر یک از ترکیبات) به کمک داده پرداز Chromatopac C-R3A به روش نرمال کردن سطح 1 و نادیده گرفتن ضرایب پاسخ 2 مربوط به طیفها انجام شد.

### نتایج و بحث

نتایج بررسی میزان بیان ژن‌های مسیر بیوسنتری پارتولید سنتتاز (TpPTS) و ژرمکرن A سنتتاز (TpGAs) در برگ‌های جوان بایونه کبیر نشان داد که بین تیمارهای مختلف (سطح مختلف شوری) در سطح 1 درصد از نظر آمی تفاوت معنی‌داری وجود دارد. بیان ژن‌های TpPTS و TpGAs در برگ‌های جوان تحت سطوح مختلف شوری (ملایم، متوسط و شدید) نسبت به شاهد افزایش معنی‌داری را نشان داد. بیشترین میزان بیان ژن‌های TpGAs مربوط به تیمار شوری شدید (EC=10.2) و بیشترین میزان بیان ژن TpPTS مربوط به تیمارهای شوری متوسط و شدید بود (شکل ۱).

### دستگاه گاز کروماتوگراف متصل به طیف سنج جرمی (GC/MS)

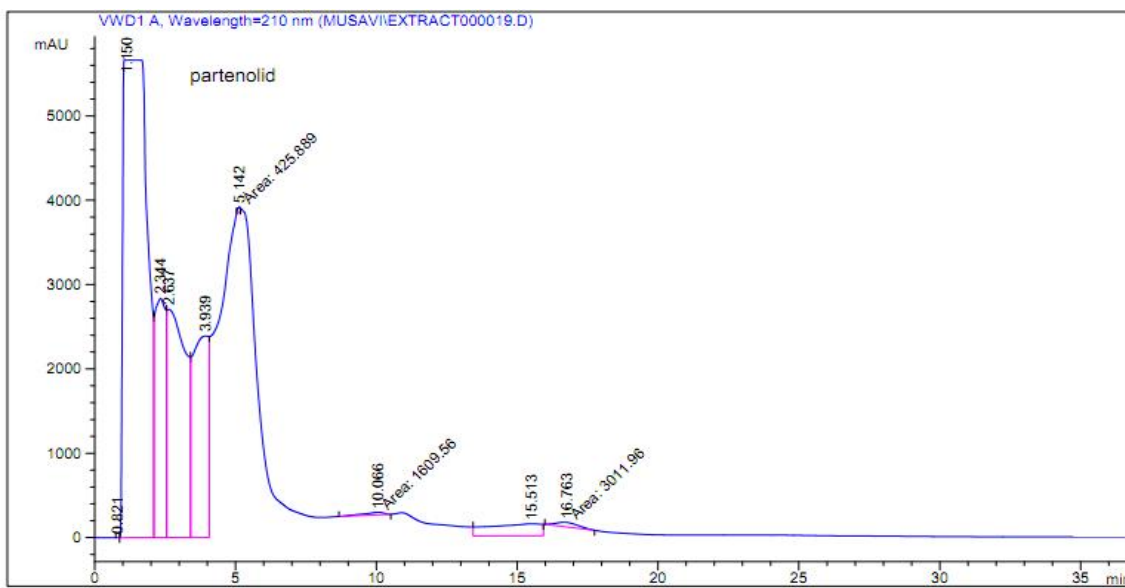
دستگاه گاز کروماتوگراف مدل 3400 Varian متصل شده به دستگاه طیف سنج جرمی مدل Saturn II و ستون مورد استفاده همانند ستون مورد استفاده در دستگاه GC با فشار گاز سرستون 35 Psi. انرژی یونیزاسیون معادل 70 الکترون ولت بود. درجه حرارت ستون 40 تا 250 درجه سانتی‌گراد با سرعت افزایش 4 درجه سانتی‌گراد در دقیقه، درجه حرارت محفظه تزریق 260 درجه سانتی‌گراد و دمای ترانسفرلاین 270 درجه سانتی‌گراد تنظیم گردید. شناسایی طیف‌ها با استفاده از کروماتوگرام‌های بدست آمده از GC روی دو ستون DB-1 و DB-wax به کمک شاخص‌های بازداری کواتس (7, 12, 16) و مقایسه آن‌ها با شاخص‌های بازداری استاندارد که در منابع مختلف منتشر گردیده است، انجام و مطالعه طیف‌های جرمی با مقایسه طیف جرمی ترکیب‌های استاندارد، استفاده از اطلاعات موجود در کتابخانه ترپنoidها در کامپیوتر دستگاه GC/MS تأیید گردیدند.



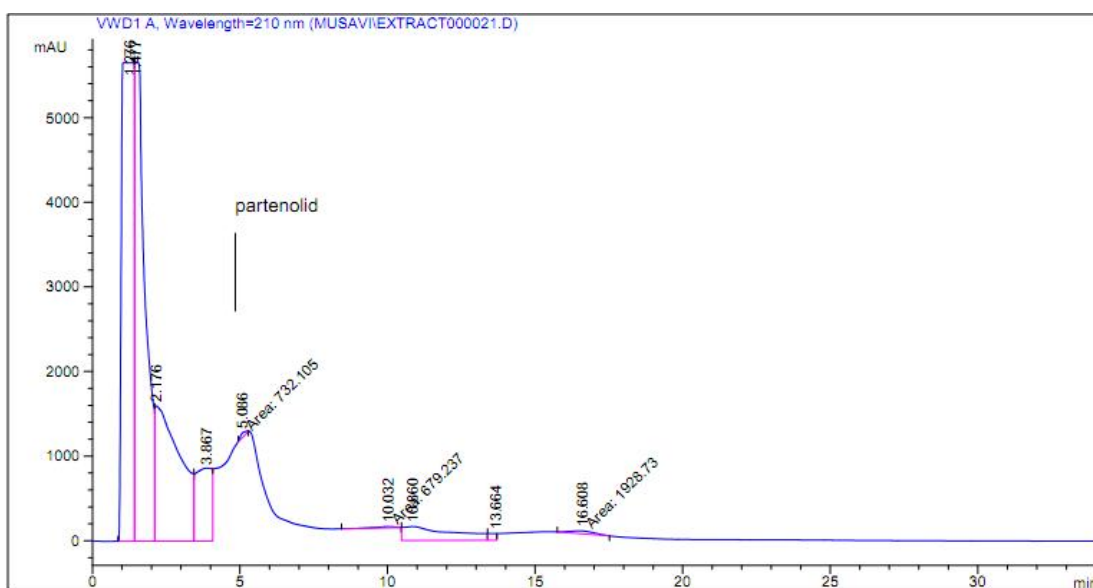
شکل ۱- الگوی بیان ژن‌های TpGAs و TpPTS در مسیر بیوسنتری پارتولید در برگ‌های جوان بایونه کبیر (مرحله اول رویشی)  
Figure 1. Expression pattern of TpPTS and TpGAs gene in biosynthetic pathway of Parthenolide in young leaves of Feverfew (first vegetative stage) under salinity stress.

اختلاف معنی‌داری در میزان پارتولید در برگ‌های جوان تحت تنش ملایم ( $EC=6.1$ ) و تنش متوسط ( $EC=8.4$ ) مشاهده نشد و میزان پارتولید به ترتیب  $0/30$  میلی‌گرم در گرم اسانس و  $0/35$  میلی‌گرم در گرم اسانس بود (شکل 3 و 4).

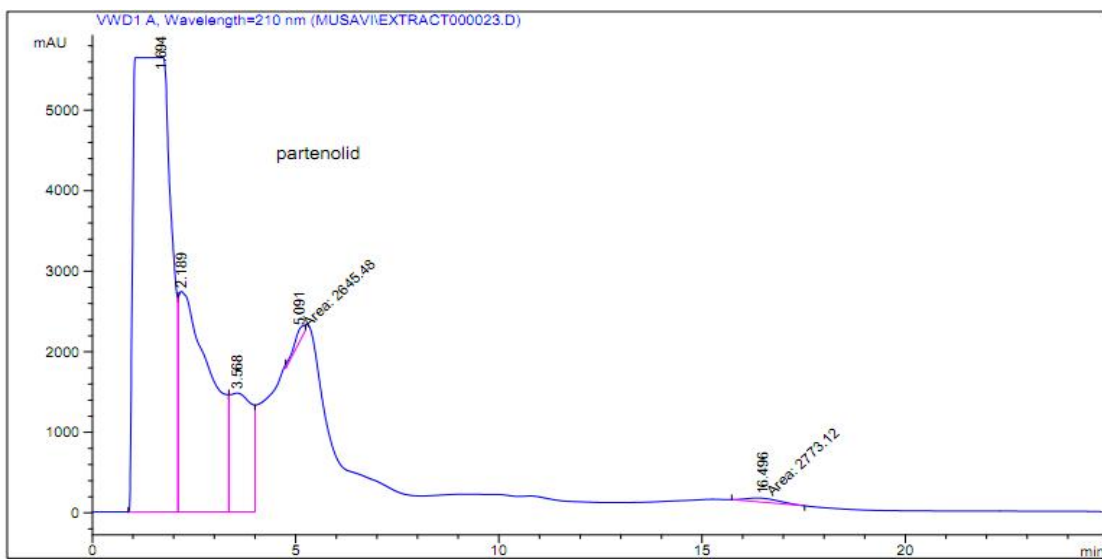
با توجه به نتایج حاصل از دستگاه HPLC، بیشترین میزان ماده موثره پارتولید در برگ‌های جوانی که تحت تاثیر تنش شدید شوری ( $EC=10.2$ ) بودند، مشاهده شد  $0/53$  میلی‌گرم در گرم اسانس) و کمترین میزان پارتولید مربوط به شاهد بود ( $0/2$  میلی‌گرم در گرم اسانس) (شکل 2 و 5). همچنین



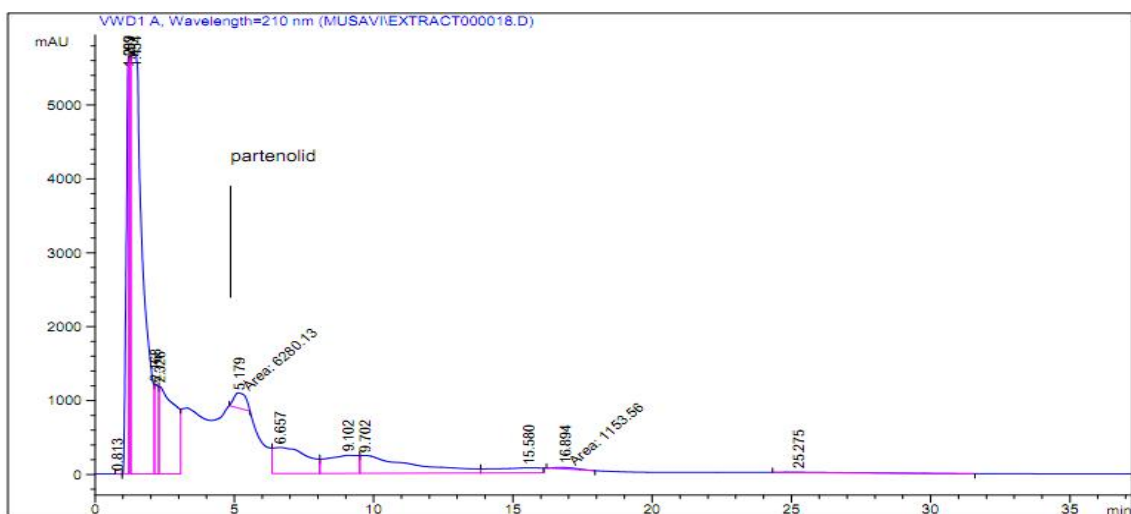
شکل 2- کروماتوگرام طیف اسانس برگ بابونه کبیر (بدون اعمال تنش شوری) در دستگاه HPLC  
Figure 2. Chromatogram obtained from injection of Feverfew leaf Essence (No salt stress) in HPLC



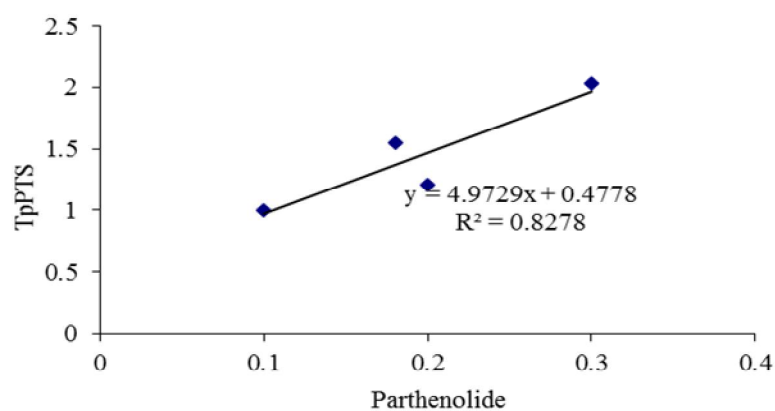
شکل 3- کروماتوگرام طیف اسانس برگ بابونه کبیر تحت تنش شوری ملایم در دستگاه HPLC  
Figure 3. Chromatogram obtained from injection of Feverfew leaf Essence under mild salinity stress in HPLC



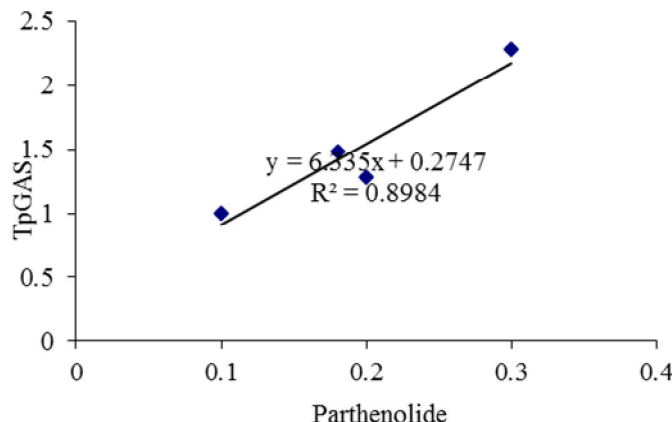
شکل 4- کروماتوگرام طیف اسانس برگ بابونه کبیر تحت تنش شوری متوسط در دستگاه HPLC  
Figure4. Chromatogram obtained from injection of Feverfew leaf Essence under moderate salinity stress in HPLC



شکل 5- کروماتوگرام طیف اسانس برگ بابونه کبیر تحت تنش شوری شدید در دستگاه HPLC  
Figure 5. Chromatogram obtained from injection of Feverfew leaf extract under severe salinity stress in HPLC



شکل 6- نمودار همبستگی پارتولید با ژن TpPTS مرحله اول  
Figure 6. Parthenolide correlation with TpPTS gene in first step



شکل 7- نمودار همبستگی پارتولید با ژن TpGAS مرحله اول  
Figure 7. Parthenolide correlation with TpGAS gene in first step

شوری به عنوان القا کننده باعث افزایش بیان ژن‌های ژرماکرن A سنتتاز (Tp GAS) و پارتولید سنتتاز (Tp PTS) و افزایش پارتولید در گیاه می‌شود. تحقیقات بر روی بیان ژن‌های بیوسنتزی مسیر پارتولید در گیاه باونه تحت تنش شوری نشان داده است که شوری موجب افزایش بیان ژن‌های ژرماکرن A سنتتاز (TpGAS) و پارتولید سنتتاز (TpPTS) نسبت به شاهد گردیده است (10). بنابراین با توجه به نتایج بدست آمده از این تحقیق می‌توان گفت که بیان ژن‌های GAS و PTS تحت تاثیر مراحل رشد و سطوح مختلف شوری قرار می‌گیرد و تنش موجب افزایش ماده موثره مهم این گیاه که پارتولید می‌باشد، می‌شود، به طوری که با افزایش تنش ژن‌های مسیر بیوسنتزی پارتولید به میزان بیشتری بیان شدن.

شرطی استرس می‌تواند کمیت و کیفیت انسان را تغییر دهد (6). در گیاهان دارویی و معطر، شوری ممکن است در برخی از ترکیبات و عملکردهای متابولیت‌های ثانویه اثر معنی داری داشته باشد (11). نتایج این مطالعه نشان داد که همبستگی مثبت نسبتاً قوی بین تولید پارتولید با بیان ژن TpGAS(R<sub>2</sub>=0.8984) و ژن TpPTS(R<sub>2</sub>=0.8278) وجود داشت. در گزارش دیگری از پروین و همکاران (13) عنوان شده است که همبستگی مثبتی بین میزان پارتولید و بیان ژن TpGAS وجود دارد به طوری که میزان بالای بیان ژن TpGAS به همراه بیشترین میزان پارتولید در کرک‌های غده‌های باونه کبیر مشاهده که این مورد با نتایج حاصل از این تحقیق مشابه است. این بافت‌های ترشحی به عنوان محل اصلی بیوسنتز و تجمع پارتولید عمل می‌کنند. نتیجه-گیری کلی این تحقیق نشان داد که بیان ژن‌های GAS و PTS تحت تاثیر مراحل رشد و سطوح مختلف شوری قرار می‌گیرد و تنش موجب افزایش ماده پارتولید می‌شود، به طوری که با افزایش تنش ژن‌های مسیر بیوسنتزی پارتولید به میزان بیشتری بیان شدن.

در تحقیق حاضر، روند تغییرات میزان بیان ژن با روند تغییرات میزان پارتولید تولید شده در برگ‌ها مطابقت داشت، به طوری که بیشترین میزان بروز ژن مربوط به شوری شدید (Ec=10.2) و بیشترین مقدار پارتولید تولید شده در برگ نیز در همین تیمار مشاهده شد و همبستگی مثبت بین بیان ژن‌های ژرماکرن A و TpGAS و مقدار پارتولید وجود داشت. بنابراین تنش شوری به عنوان القا کننده باعث افزایش بیان ژن‌های ژرماکرن A سنتتاز (TpGAS) و پارتولید سنتتاز (TpPTS) و افزایش پارتولید در گیاه باونه کبیر می‌شود. محققین زیادی میزان مواد موثره فعال گیاهان دارویی (فل، فلاونوئید، آلکالوئید ترپن) را به عوامل ژنتیک و محیط مربوط نمودند که میزان آن‌ها و عملکردهای دارویی آن‌ها نیز در رویشگاه‌های مختلف متغیر گزارش شده است (10). متابولیت‌های ثانویه گیاهان دارویی نتیجه بارز تنش‌ها هستند. بنابراین محصولات دارویی برخلاف محصولات کشاورزی که در اوضاع تنشی از نظر تولید صدمه می‌بینند. در این شرایط تولید شبیهای بیشتر و در نتیجه بازده اقتصادی برتری پیدا می‌کنند. بنابراین در پرورش این گیاهان همانقدر که وجود آب یکی از امکانات مهم زیست محیطی است کمود آب هم یک واقعیت است که توان افزایش مواد موثره را دارا می‌باشد (3). ترپنوهای که از بزرگترین گروه متابولیت‌های ثانویه هستند، در باونه کبیر به فراوانی وجود دارد، به صورتی که بیش از 12 درصد سزکوئی ترپن‌های باونه کبیر را پارتولید تشکیل می‌دهد و به عنوان مهمترین ماده موثره این گیاه دارای فعالیت بیولوژیکی بسیاری است (5). در گزارشی از مجیدی و همکاران (9) در بررسی بیان ژن‌های مسیر بیوسنتزی پارتولید در باونه کبیر عنوان شد که میزان بیان ژن‌ها می‌تواند تحت تاثیر مرحله رشدی و ژنتیک تغییر کند. همچنین بیشترین میزان همبستگی بین میزان پارتولید و میزان بیان ژن Tp GAS مشاهده شد. در تحقیقی دیگر شارپو و همکاران (17) در بررسی خود بر روی باونه کبیر عنوان نمودند که تنش

## منابع

1. Bernstein, N., M. Kravchik. and N. Dudai. 2009. Salinity-induced changes in essential oil, pigments and salts accumulation in sweet basil (*Osimumba silicum*) in relation to alteration of morphological development. *Annals of Applied Biology*, 156(2): 167-177.
2. Bettaieb, I., A. Zakhama, N. Wannes, W.A. Kchouk and M.E. Marzouk. B. 2008. Water deficit effects on *Salvia officinalis* fatty acids and essential oils composition. *Scientia Horticulturae*, 120(2): 271-275
3. Brown, A.M.G., C.M. Edwards, M.R. Davey, J.B. Power and K.C. Lowe. 1997. Effects of extracts of *Tanacetum* species on human polymorpho nuclear leucocyte activity *in vitro*. *Phytotherapy Research*, 11: 479-484.
4. Cretnik, L., M. Skerget and Z. Knez. 2005. Separation of parthenolide from feverfew: performance of conventional and high-pressure extraction techniques. *Separation and Purification Technology*, 41: 13-20.
5. Dennis, V.C., A. Awang, B. Dowson and D. G. Kindack. 1991. Parthenolide content of feverfew (*Tanacetum parthenium*) assessed by HPLC and H-NMR spectroscopy. *Journal of Plant Production*, 54(6): 1991. pp: 1516-1521.
6. Groenewegen, W.A. and S. Heptinstall. 1992. Progress in the medicinal chemistry of the herb, feverfew. *Progress in Medicinal Chemistry*, 29: 217-238.
7. Hay, R.K.M. 1993. Physiology In: *Volatile Oil Crops: Their Biology, Biochemistry and Production*, eds., Hay R.K.M. and P.G. Waterman. Longman, England. 23-46.
8. Hendawy, S.F. and Kh.A. Khalid. 2005. Response of sage (*Salvia officinalis* L.) plants to zinc application under different salinity levels. *Journal of Applied Sciences Research*, 1: 147-155.
9. Majdi, M., G. Karimzadeh and M.A. Malboobi. 2014. Spatial and developmental expression of key genes of terpene biosynthesis in feverfew (*Tanacetum parthenium*), *Biologia Plantarum*, 58: 379-384.
10. Mansouri, I., H. Najafi Zarini, N.A. Babaian and A. Pakdedin. 2019. Evaluation of salinity tolerance of some rapeseed (*Brassica napus* L.) genotypes under normal and salinity stress conditions, *Journal of Crop Breeding*, 1(1): 4-5 (In Persian).
11. Mohammadzadeh Norouzi, M., S.A. Peyghambari, A.R. Nabipour and S. Fallah. 2009. Evaluation of response of rice genotypes to salinity stress at germination stage, *Journal of Crop Breeding*, 2(1): 4-5 (In Persian).
12. Pareek, A., M. Suthar, G.S. Rathore and V. Bansal. 2011. Feverfew (*Tanacetum parthenium* L.): A systematic review. *Pharmacogn Rev*, 5(9): 103-110.
13. Parvin, N., R.A. Samani, N. Shahinfard, S. Reissi, Z. Alibabae and A. Asgari. 2012. Effect of alcoholic extract of *Tanacetum parthenium* on acute pain in rat. *Journal of Qazvin University of Medical Sciences*, 16(1): 15-21.
14. Petropoulos, S.A., D. Daferera, M.G. Polissiou and H.C. Passam. 2008. The effect of water deficit stress on the growth, yield and composition of essential oils of parsley. *Science Horticultural*, 115: 393-397.
15. Ramakrishna, A. and G.A. Ravishankar. 2011. Influence of abiotic stress signals on secondary metabolites in plants. *Plant Signaling and Behavior*, 6: 1720-1731.
16. Rohmer, M., M. Knani, P. Simonin, B. Sutter and H. Sahm. 1993. Isoprenoid biosynthesis in bacteria: a novel pathway for the early steps leading to isopentenyldiphosphate- Biochem. Journal, 295: 517-524.
17. Sharopov, F.S., W.N. Setzer, S.J. Isupov and M. Wink. 2015. Composition and bioactivity of the essential oil of *Tanace tum parthenium* from a wild population growing in Tajikistan *Pharmacogn Rev*, 2(4): 4-32.
18. Singh, G., G. Singh, P. Singh, R. Parmar, N. Paul, R. Vashist, M. Kumar Swarnkar, A. Kumar, S. Singh, S. Kumar Singh and S. Kumar. 2017. Molecular dissection of transcriptional reprogramming of steviol glycosides synthesis in leaf tissue during developmental phase transitions in *Stevia rebaudiana* Bert. *Scientific Reports*, 7: 11835.
19. Williams, C.A., J.R.S. Hoult, J.B. Harborne, J. Greenham and J. Eagles. 1995. Biologically-active lipophilic flavonol from *Tanacetum parthenium*, *Phytochemistry*, 38: 267-270.
20. Zeng, Q.P., X.M. Zeng, R.Y. Yang and X.Q. Yang. 2011. Singlet oxygen as a signaling transducer for modulating artemisinin biosynthetic genes in *Artemisia annua*. - *Plant Biology*, 55: 669-674.
21. Zhao, C., Y. Zu and C.Li. 2009. Extraction of solanesol from tobacco (*Nicotiana tobacum* L.) leaves by bubble column. *Chemical Engineering and Processing*, 48: 203-8.

**Evaluation and Comparison of Germline a Synthetase (TpGAS) and Parthenolide Synthetase (Tppts) Genes Expression in Parthenolide Biosynthetic Pathway under Different Salinity Levels in Two Vegetative Stages of Feverfew Leaves (*Tanacetum parthenium*)**

**Mansoreh Ahmadi Livani<sup>1</sup>, Latifeh Pourakbar<sup>2</sup>, Arian Sateei<sup>3</sup>, Mahdi Ebadi<sup>4</sup> and Abolghasem Mohamadi<sup>5</sup>**

---

1- Ph.D. Student of Plant Physiology, Department of Biology, Faculty of Science, Urmia University

2- Associate Professor of Department of Biology, Faculty of Science, Urmia University,

(Corresponding author: l.pourakbar@urmia.ac.ir)

3- Ph.D. of Plant Physiology, Gorgan University of Agricultural Sciences and Natural Resources

34- Ph.D. In Chemistry Electrochemical Biodegradation, Gorgan University

5- Ph.D. of Genetics, Gorgan University of Agricultural Sciences and Natural Resources

Received: December 2, 2019      Accepted: February 29, 2020

---

**Abstract**

Feverfew (*Tanacetum parthenium*) is belonging to the Asteraceae family that was traditionally used as a fever and the most important constituent of the sesquiterpene lactones is Parthenolide. Parthenolide, a lactone germacranolide, is very important in preventing migraine and cancer treatment due to its medical value and pharmacological activity in particular. In the present study, young and mature leaves of Feverfew were at different salinity levels (control: EC = 3.2(Ds/m), mild salinity EC = 6.1, moderate salinity EC = 8.4 and severe salinity EC = 10.2). In order to study the changes in the expression of biosynthetic pathway genes, parthenolide, germinal A synthetase (GAS) and parthenolide synthetase (PTS) were evaluated by Real Time PCR method. The amount of parthenolide produced in the leaves was determined by HPLC extraction method using standard parthenolide curve and essential essence percentage by GC / MS. The results showed increased expression of the studied genes in young and mature leaves under salinity stress compared to control plants. The highest gene expression (TpPTS) was observed in young leaves in severe salinity (Ec = 10.2) and in adult leaves in severe salinity (Ec = 10.2) and moderate salinity (Ec = 8.4). Adult was related to severe and moderate salinity treatments. Also, according to the present study, the highest expression of TpGAS gene in young and adult leaves was related to severe and moderate salinity treatments. Also, according to the present study, the highest and lowest amount of parthenolide produced in young leaves belonged to severe salinity treatment (1.5mg / g essence) and control (0.2mg / g essence), respectively. In adult leaves, the highest amount of parthenolide belonged to severe salinity treatment (1.5mg / g essence) and lowest belonged to control (0.1mg / g essence). The results of correlation between partitioning of germakren A synthetase and parthenolide synthetase genes was a positive correlation between the partitioning of germakren A synthetase and parthenolide synthetase genes.

**Keywords:** Medicinal plants, Real Time PCR, HPLC, Essence